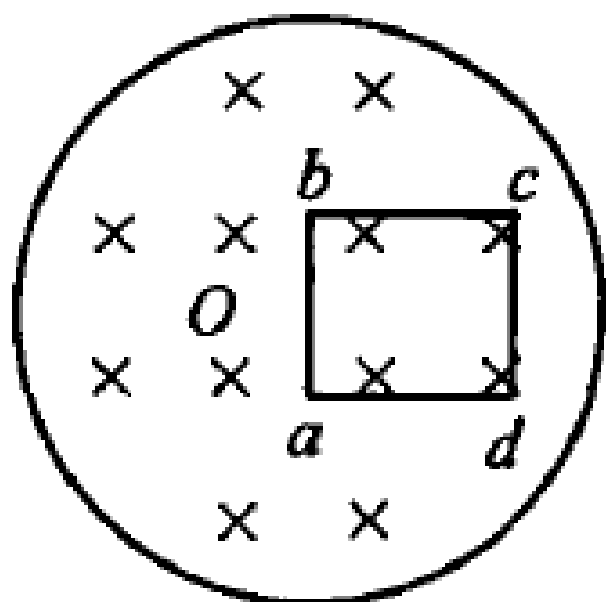
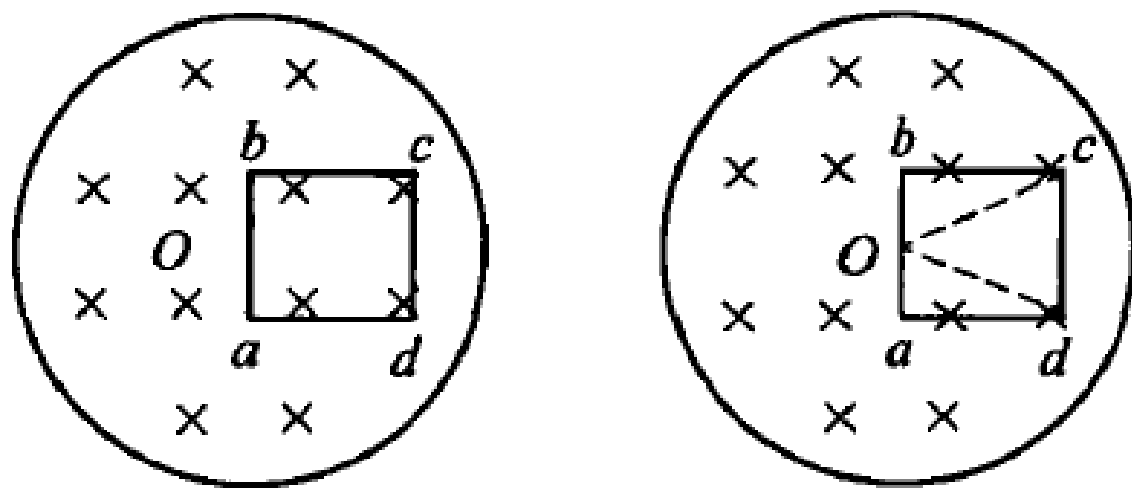


**例20.4** 如图所示,圆柱形区域内有一匀强磁场,磁感应强度为  $B = 0.5 \text{ T}$ ,方向沿圆柱轴线,且能以  $1 \text{ T/s}$  的恒定变化率减小,一个边长为  $L = 20 \text{ cm}$  的正方形导线框置于该磁场中, $ab$  边的中点过圆心,求该正方形线框各边的感应电动势。

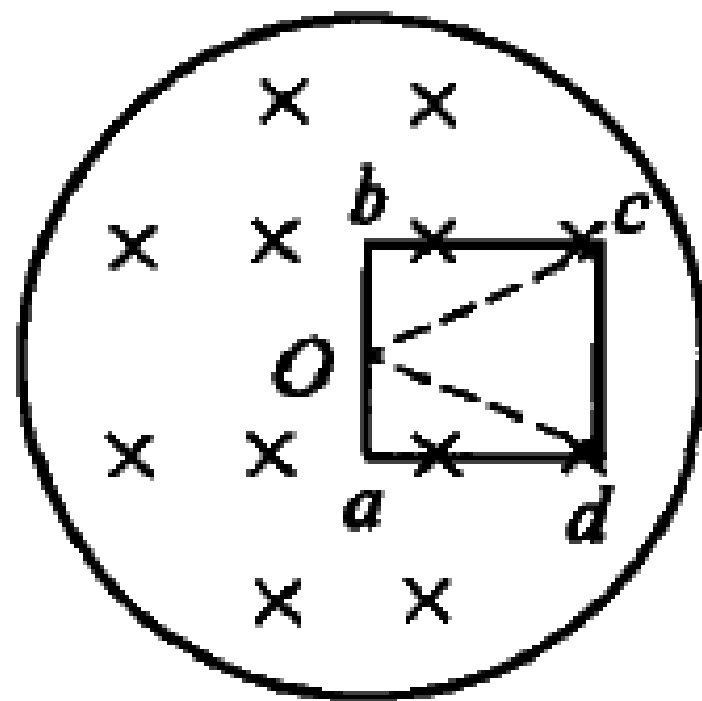
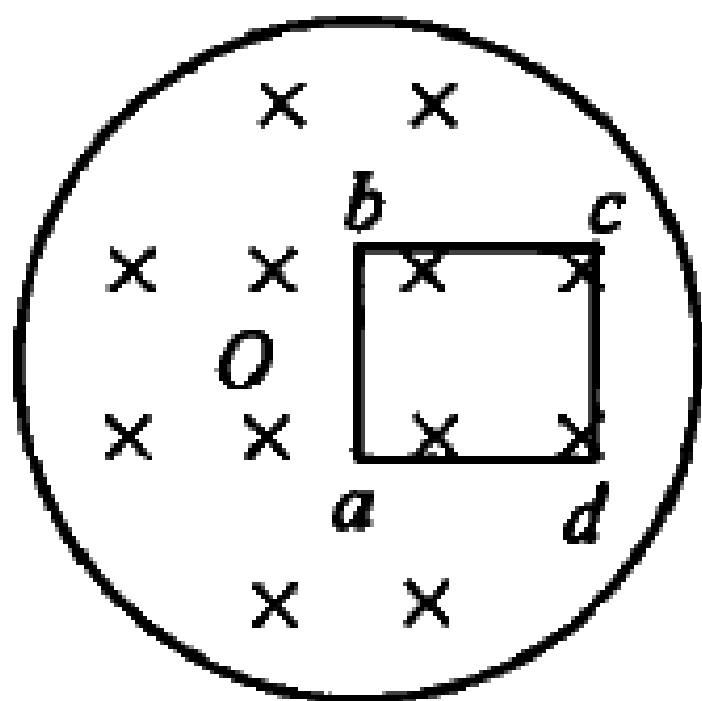




解 作  $Oc$ 、 $Od$  连线, 如图所示, 由于  $Oa$ 、 $Ob$  也沿半径方向, 则  $\epsilon_{Oa} = \epsilon_{Ob} = 0$ ,  $\epsilon_{ab} = 0$ 。

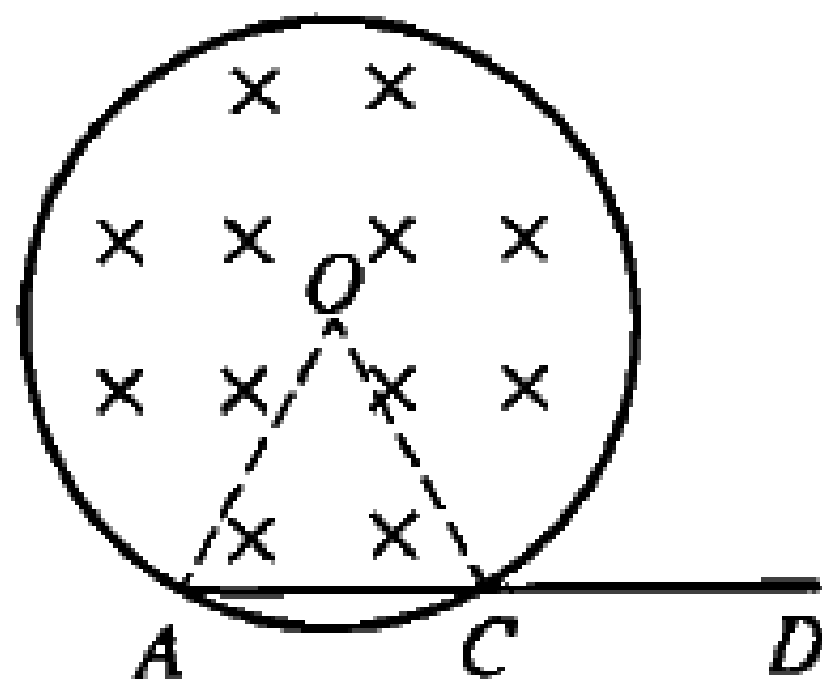
由楞次定律可判断回路中电流方向沿顺时针方向, 可知各段导体的感应电动势大小分别为

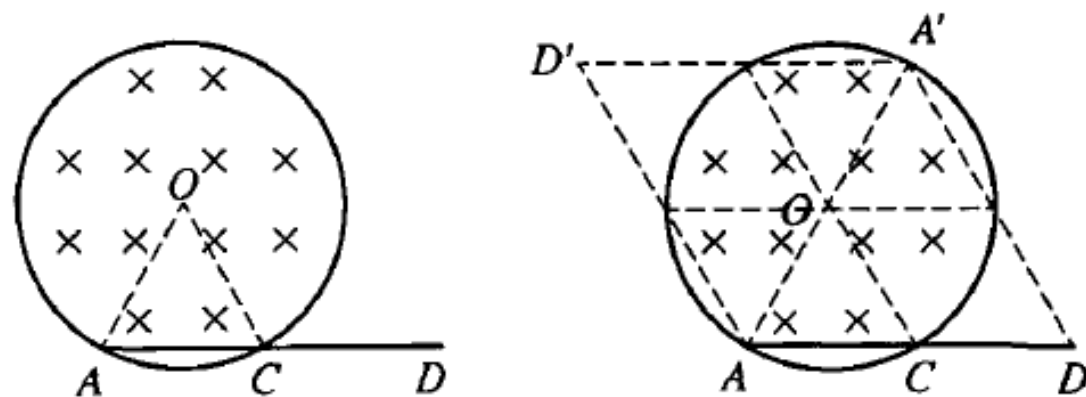
$$\begin{aligned}\epsilon_{bc} &= \epsilon_{da} = kS_{\Delta Ocd} \\ &= 1 \times 0.2 \times 0.1 \times \frac{1}{2} = 1 \times 10^{-2} \text{ V} \\ \epsilon_{cd} &= kS_{\Delta Ocd} = 1 \times 2 \times S_{\Delta Ocd} = 2 \times 10^{-2} \text{ V}\end{aligned}$$



解题关键是沿半径方向作辅助线，将正方形线框分为 3 个三角形。若对整个线框应用法拉第电磁感应定律求解感应电动势，所得结果恰好等于各部分之和。要注意各边的电动势不是均分的。

**例20.5** 如图所示，一匀强磁场  $B$  被限制在半径为  $R$  的无限长圆柱形空间内，并按  $B = kt$  均匀增加，现垂直于磁场方向放置一金属棒  $AD$ ，一半在磁场内，一半在磁场外，已知  $AC = CD = R$ ，求该金属棒上的电动势  $\epsilon_{AD}$  为多大？





**解法 1** 如图所示, 作辅助回路  $ADA'D'$ , 由对称性可知,  $AD$ 、 $DA'$ 、 $A'D'$ 、 $D'A$  四边分别产生的感应电动势相等。回路中磁场区域的面积为

$$S = \left( \frac{1}{2}R \times \frac{\sqrt{3}}{2}R \right) \times 4 + \left( \frac{1}{2} \times R \times \frac{\pi}{3}R \right) \times 2$$

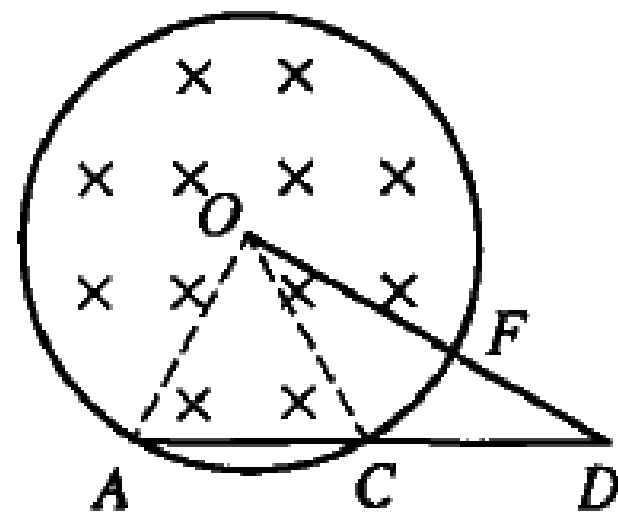
则感应电动势为  $\epsilon = \frac{\Delta\phi}{\Delta t} = \left( \sqrt{3} + \frac{\pi}{3} \right) R^2 k。$

故所求电动势为

$$\epsilon_{AD} = -\frac{1}{4}\epsilon = -\frac{1}{4} \left( \sqrt{3} + \frac{\pi}{3} \right) R^2 k$$

式中的负号表示  $A$  端的电势比  $D$  端的电势低。

**解法 2** 如图所示, 构建三角形回路  $OAD$ , 沿半径方向的导线不产生电动势, 则金属棒产生的电动势等于回路的电动势。先求出回路包围磁场区域的面积, 等腰三角形的面积为  $S_1 = \frac{\sqrt{3}}{4}R^2$ , 扇形圆心角



为  $30^\circ$ , 则扇形的面积为  $S_2 = \frac{\pi}{12}R^2$ 。由法拉第电磁感

应定律可知  $\epsilon = \frac{\Delta\Phi}{\Delta t} = \frac{1}{4} \left( \sqrt{3} + \frac{\pi}{3} \right) R^2 k$ , 所以  $\epsilon_{AD}$

$$= -\frac{1}{4} \left( \sqrt{3} + \frac{\pi}{3} \right) R^2 k。$$

解法 1 利用了补偿法 and 对称性, 解法 2 利用了补偿法以及涡旋电场线处处与半径垂直的特点。

拓展 在  $t = 0$  时磁感应强度为  $B_0$ , 若金属棒向圆心平动的速度为  $v$ , 在  $t$  时刻经过图中位置, 则感应电动势多大?

解析 在  $t$  时刻切割磁感线产生的感应电动势为  $\epsilon' = BRv = (B_0 + kt)Rv$ ;

动生电动势  $A$  端电势高, 而感生电动势  $D$  端电势高, 所以总电动势为

$$\epsilon = \epsilon_{DA} - \epsilon' = \frac{1}{4} \left( \sqrt{3} + \frac{\pi}{3} \right) R^2 k - (B_0 + kt) Rv$$

# 感生电动势与感生电场的计算

方法一： 由电动势的定义

$$\mathcal{E}_{\text{感}} = \oint_L \vec{E}_{\text{感}} \cdot d\vec{l} = - \int_S \frac{\partial \vec{B}}{\partial t} \cdot d\vec{S}$$

方法二： 由法拉第电磁感应定律

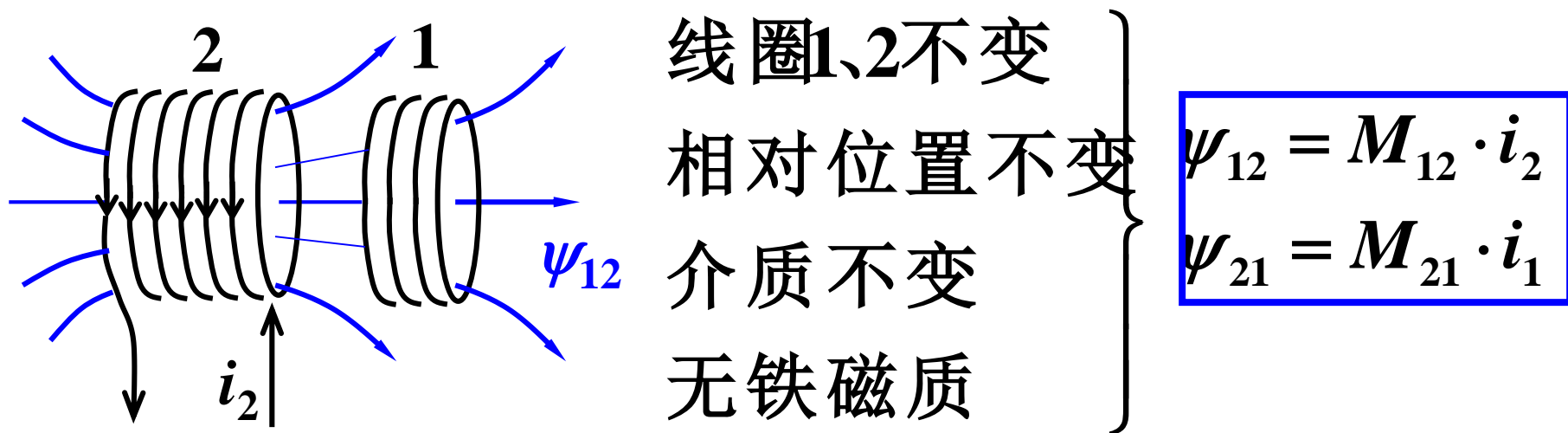
$$\mathcal{E}_{\text{感}} = - \frac{d\Phi}{dt}$$

（需设计一个闭合回路）



## 20.4 互感 (mutual inductance)

### 一. 互感系数 (coefficient of mutual inductance)



$$M_{21} = M_{12} = M = \text{const.} \quad p. 196$$

$M$  称互感系数，它由两线圈的大小、形状、圈数、相对位形和介质情况决定。

$$\begin{aligned}\psi_{12} &= M_{12} \cdot i_2 \\ \psi_{21} &= M_{21} \cdot i_1\end{aligned} \Rightarrow \begin{aligned}\psi_{12} &= M \cdot i_2 \\ \psi_{21} &= M \cdot i_1\end{aligned}$$

$$M \text{ 的单位: } \text{H (亨利)} = \frac{\text{Wb (韦伯)}}{\text{A (安)}}$$

互感电动势

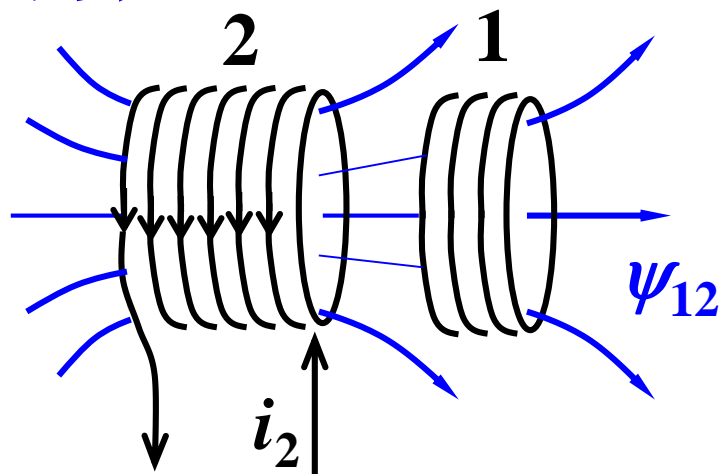
$$\varepsilon_{12} = -\frac{\mathrm{d}\psi_{12}}{\mathrm{d}t} = -M \frac{\mathrm{d}i_2}{\mathrm{d}t}$$

规定:  $i_2$  正向  $\xrightarrow[\text{螺旋}]{\text{右手}}$   $\psi_{12}$  正向  $\xrightarrow[\text{螺旋}]{\text{右手}}$   $\varepsilon_{12}$  正向。

同理互感电动势

$$\varepsilon_{21} = -\frac{\mathrm{d}\psi_{21}}{\mathrm{d}t} = -M \frac{\mathrm{d}i_1}{\mathrm{d}t}$$

## 二. 互感系数的计算:



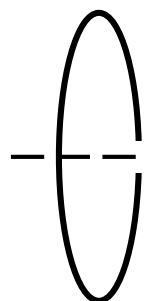
$$\psi_{12} = M \cdot i_2 \quad \psi_{21} = M \cdot i_1$$

或设  $i_2 \rightarrow B_2 \rightarrow \psi_{12} \rightarrow M = \frac{\psi_{12}}{i_2}$

或设  $i_1 \rightarrow B_1 \rightarrow \psi_{21} \rightarrow M = \frac{\psi_{21}}{i_1}$

哪条路方便，  
就按哪条路计算。

思考



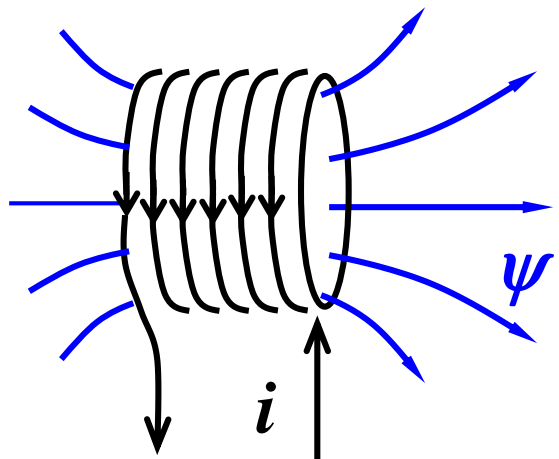
线圈1

线圈2

哪条路计算  $M$  方便?

## 20.5 自感 (self-inductance)

### 一. 自感系数 (coefficient of self-inductance)



线圈不变形  
介质不变化  
无铁磁质

$$\psi = Li$$

$L = \text{const.}$

$L$  称自感系数 (电感量)，它由线圈圈数、形状、尺寸、介质情况等因素决定。

$L$  的单位: H (亨利)

为保证  $L > 0$ ，规定  $\psi$  的正向与  $i$  的正向成右手螺旋关系。



亨利画像及雕塑

**亨利**（Joseph Henry, 1797~1878, 美国物理学家）

自感电动势

$$\varepsilon_L = -\frac{d\psi}{dt} = -L\frac{di}{dt}$$

$\varepsilon_L$  的正向与  $i$  的正向一致。

## 二. 自感系数（电感）的计算

1. 由  $L = \psi / i$  计算： 设  $i \rightarrow B \rightarrow \psi \rightarrow L$

例如长直螺线管： $B \approx \mu n i \rightarrow \psi \approx n l \cdot \mu n i \cdot S$

→ 自感系数  $L \approx \mu n^2 V$  ( $V = lS$ )

2. 由  $L = \left| -\frac{\varepsilon_L}{di/dt} \right|$  计算： $\varepsilon_L, \frac{di}{dt} \rightarrow L$

由此可知：
$$\frac{\text{V} \cdot \text{s} (\text{伏秒})}{\text{A} (\text{安})} = \frac{\text{Wb} (\text{韦伯})}{\text{A} (\text{安})}$$

### 三.自感（电感）的特点

自感线圈中  $\varepsilon_L \neq \infty \rightarrow \frac{di}{dt} \neq \infty \rightarrow i$  不能突变。

由楞次定律得知， $i$  的变化受到  $\varepsilon_L$  的阻碍，

$\therefore L$  对交流电流有感抗，但对直流电流畅通。

（对比：电容器电压不能突变，可以通过交流电流，而隔断直流电流。）

自感和互感统称为电感，但作为使用元件的术语，电感通常是指自感，互感常称为变压器和电流互感器。

## RL 电路的暂态过程

电路包括直流电源  $\mathcal{E}$  (内阻可略) 以及串联的  $R$  和  $L$ , 把开关拨向 1, 接通电源, 由于有  $L$ , 电路中除  $\mathcal{E}$  外还有反抗电流变化的自感电动势  $\mathcal{E}_L = -L \frac{di}{dt}$ , 总的电动势是两者之和. 由欧姆定律 (在电流变化不快的似稳条件下, 欧姆定律依然成立), 有

$$\mathcal{E} + \mathcal{E}_L = \mathcal{E} - L \frac{di}{dt} = iR$$

$$L \frac{di}{dt} + Ri = \mathcal{E}$$

这是电路中瞬时电流  $i$  遵循的微分方程——一阶线性常系数非齐次微分方程, 可用分离变量法求解. 分离变量, 得

$$\frac{di}{i - \frac{\mathcal{E}}{R}} = -\frac{R}{L} dt$$

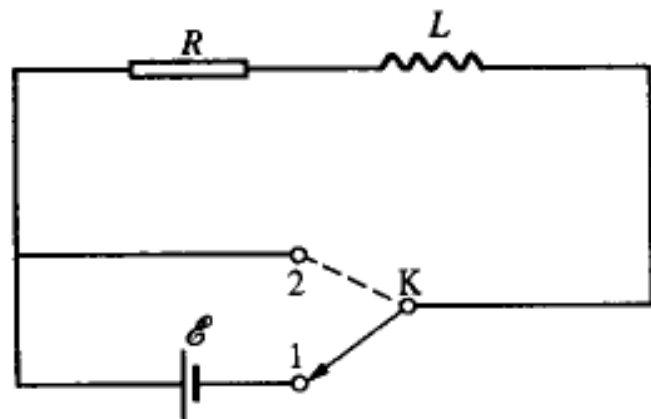


图 6-13 直流电源,  $RL$  串联



$$\ln\left(i - \frac{\mathcal{E}}{R}\right) = -\frac{R}{L}t + K$$

$$i - \frac{\mathcal{E}}{R} = K_1 e^{-\frac{R}{L}t}, \quad K_1 = e^K.$$

式中  $K$  或  $K_1$  是积分常数, 由初始条件即接通电源的  $t=0$  时刻电流为  $i_0=0$  来确定. 代入上式, 得  $K_1 = -\mathcal{E}/R$ . 由此解出

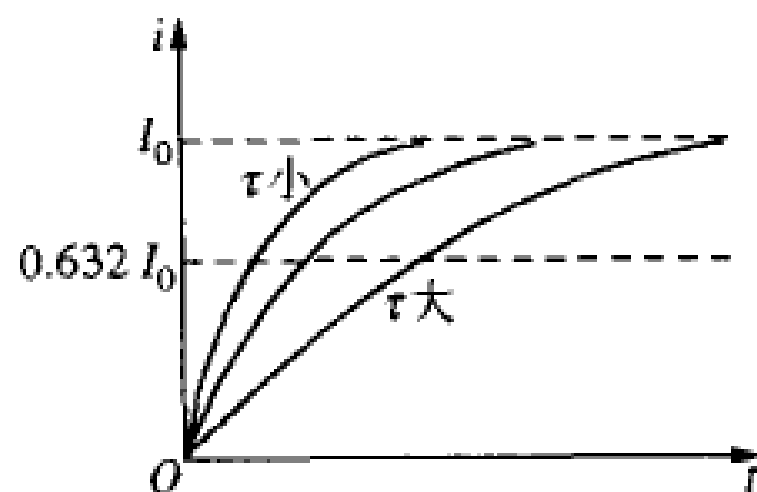
$$i = \frac{\mathcal{E}}{R}(1 - e^{-\frac{R}{L}t}) = I_0(1 - e^{-\frac{t}{\tau}})$$

可见, 接通电源后电流  $i$  随时间  $t$  按**指数增长**逐渐**达到稳定值**  $I_0 = \mathcal{E}/R$ . 增长的快慢取决于具有时间量纲的比值  $\tau = L/R$  的大小.  $\tau$  称为  $RL$  电路的**时间常数**, 当  $t = \tau$  时, 电流为

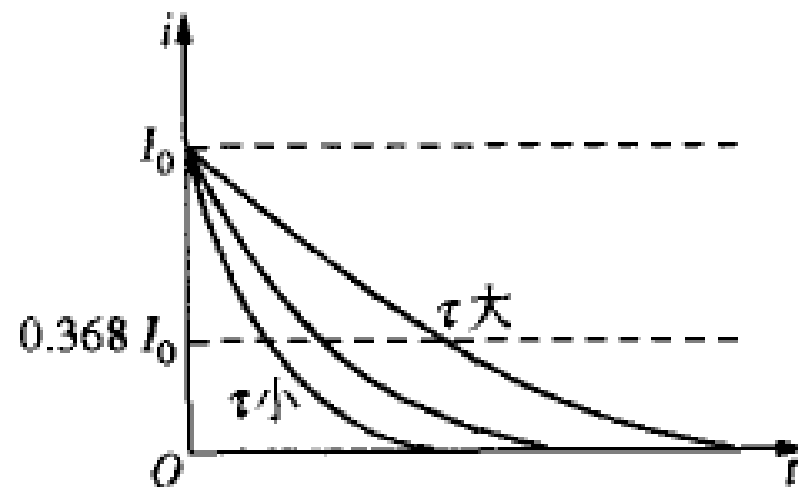
$$i(\tau) = I_0(1 - e^{-1}) = 0.632I_0,$$

$\tau$  等于电流从 0 增加到稳定值  $I_0$  的 63% 所需的时间, 当  $t = 5\tau$  时,  $i = I_0(1 - e^{-5}) = 0.994I_0$ , 已基本达到稳定值.

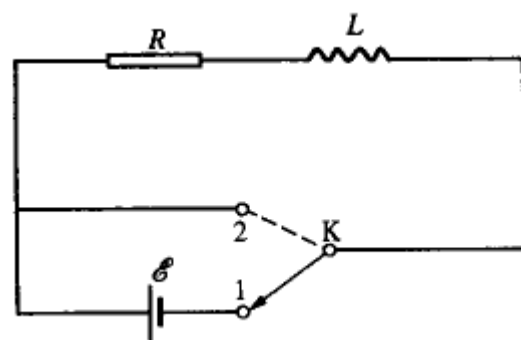
对于不同的  $\tau$  值, 电流  $i$  随时间  $t$  的变化曲线如图所示.



(a) 接通电源



(b) 断开电源并短接



当电流达到稳定值  $I_0$  后, 将开关 K 由 1 拨到 2, 即断开电源并短接, 此时虽无电源, 但因电流变化产生的自感电动势将阻碍电流的变化, 使之逐渐衰减. 由欧姆定律, 有

$$\mathcal{E}_L = -L \frac{di}{dt} = iR$$

$$L \frac{di}{dt} + iR = 0$$

$$\frac{di}{i} = -\frac{R}{L}dt.$$

积分,并由初始条件  $t=0$  时刻电流为  $I_0=\mathcal{E}/R$  定出积分常数  $K_2=\mathcal{E}/R$ , 得

$$i = K_2 e^{-\frac{R}{L}t} = \frac{\mathcal{E}}{R} e^{-\frac{R}{L}t} = I_0 e^{-\frac{t}{\tau}}.$$

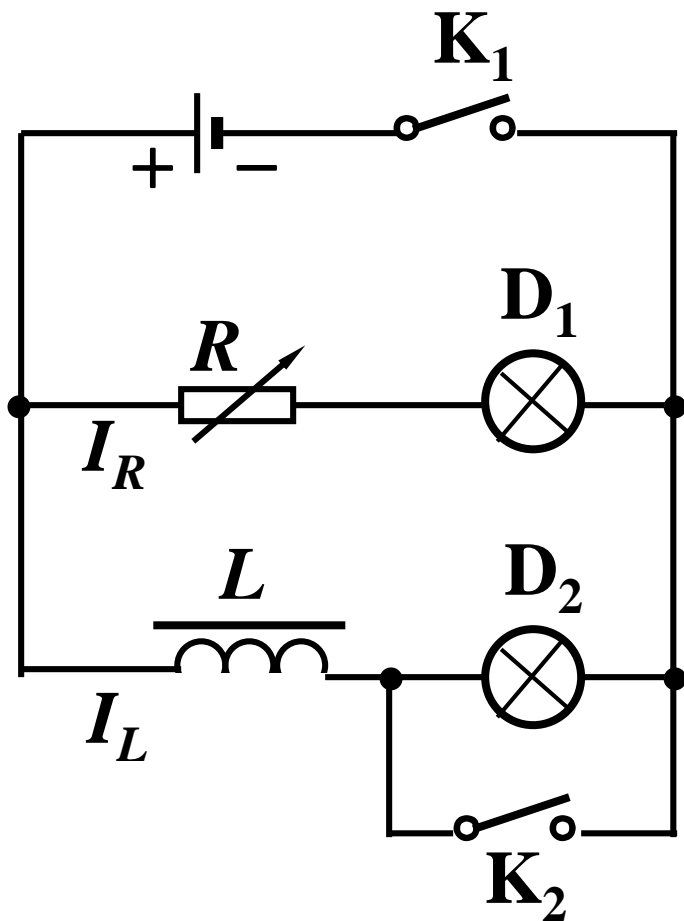
可见,断开电源短接后,  $RL$  串联电路的电流从  $I_0=\mathcal{E}/R$  按指数衰减,衰减的快慢取决于时间常数  $\tau=L/R$  的大小,如图 (b)所示.

$$e = 2.7182818285$$

$$\tau = \frac{L}{R} \quad \text{— 时间常量}$$

演示

## 电感中的电流不能突变



演示的电路图

在 $K_2$ 断开的情况下，

接通 $K_1$ ： $D_1$ 立刻亮

$D_2$ 迟些亮

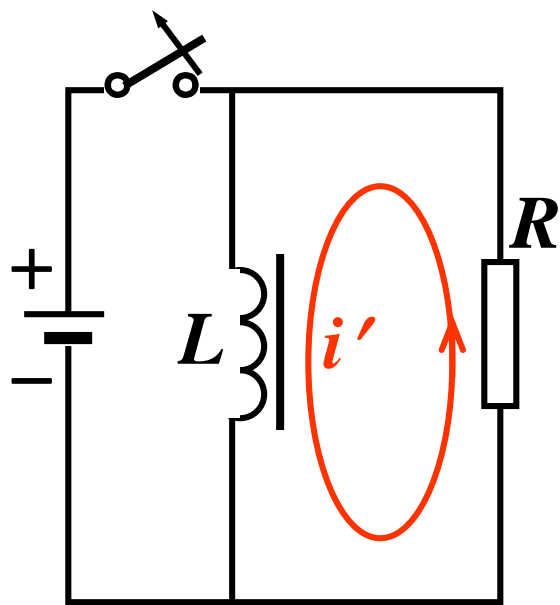
$K_1$ 和  $K_2$  接通的情况下，

再断开 $K_1$ ： $D_1$  闪亮后熄灭

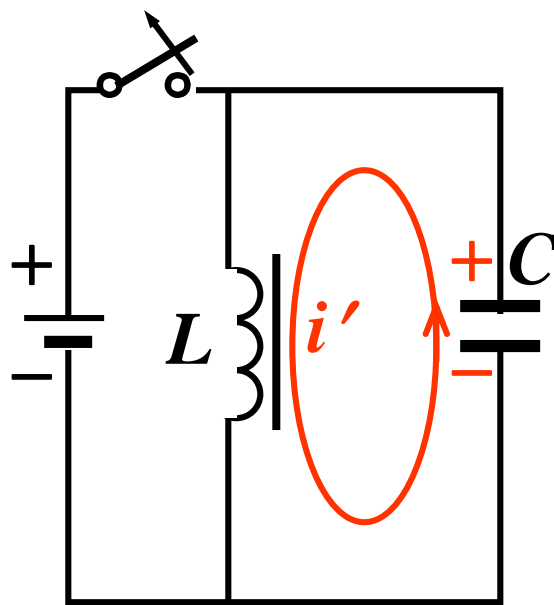
(需要  $I_L > I_R$ )

大电感 ( $L$ 大) 断电时 ( $di/dt$  大), 可产生很高的  $\varepsilon_L$ , 易造成线圈绝缘被击穿和触点电腐蚀。

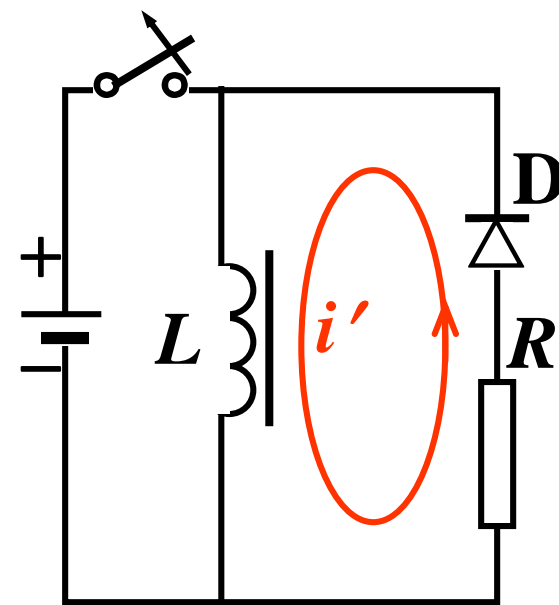
减小 ( $di/dt$ ) 的措施:



$R$ : 泄放电阻  
(消耗磁能)

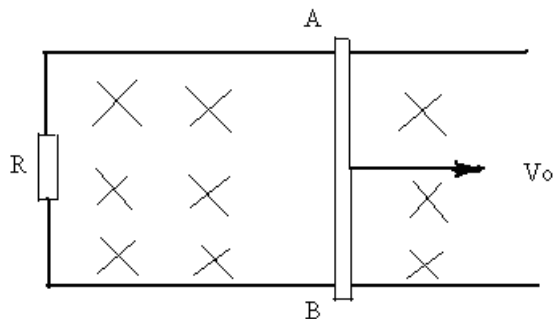


$C$ : 续流电容  
(充电续流)



$D$ : 续流二极管  
(导通续流)

**例20.7** 如图所示，一平行导轨上放置一根质量为 $m$ 、长为 $L$ 的金属杆 $AB$ ，平行导轨连接一电阻 $R$ ，均匀磁场 $\vec{B}$ 垂直地通过导轨平面，当杆以初速度 $v_0$ 向右运动时，求金属杆移动的距离。（忽略金属杆的电阻、它与导轨的摩擦力和回路的自感。）



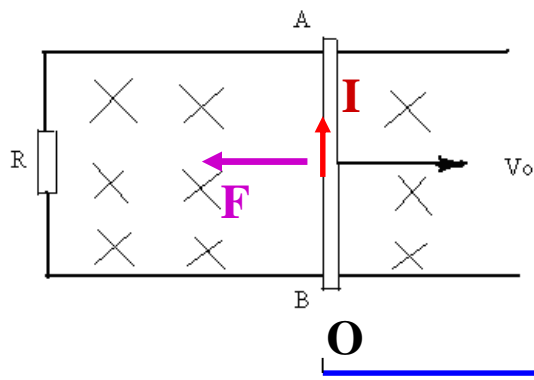
**解：动生电动势**  $\varepsilon = BLv$   $I = \frac{\varepsilon}{R} = \frac{BLv}{R}$

$$\vec{F} = I\vec{L} \times \vec{B}$$

$$F = \frac{BLv}{R} LB \sin \frac{\pi}{2} = \frac{B^2 L^2}{R} v$$

$$\vec{F} = m\vec{a}$$

$$-\frac{B^2 L^2}{R} v = m \frac{dv}{dt}$$



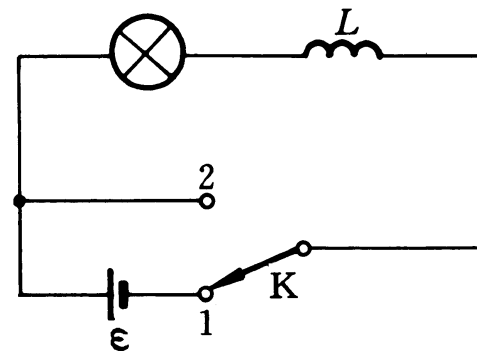
$$-\frac{B^2 L^2}{R} \frac{dx}{dt} = m \frac{dv}{dt}$$

$$\int_0^s dx = -\int_{v_0}^0 \frac{mR}{B^2 L^2} dv$$

$$\Rightarrow s = \frac{mRv_0}{B^2 L^2}$$

## 20.6 磁场能量

当开关K倒向1时，自感为 $L$ 的线圈中的电流 $i$ 将由零增大到恒定值 $I$ ，灯泡会逐渐亮起来；这一电流变化在线圈中产生的自感电动势的方向与电流方向相反，起着阻碍电流增大的作用，自感电动势 $\varepsilon_L = -L \mathrm{d}i/\mathrm{d}t$



作负功。在建立电流 $I$ 的整个过程中，外电源不仅要供给电路中产生焦耳热所需要的能量，而且还要抵抗自感电动势做功 $A_L$ ，即

$$\begin{aligned} A_L &= \int \mathrm{d}A_L = \int_0^\infty (-\varepsilon_L) i \mathrm{d}t = \int_0^\infty L \frac{\mathrm{d}i}{\mathrm{d}t} i \mathrm{d}t \\ &= \int_0^I L i \mathrm{d}i = \frac{1}{2} L I^2 \end{aligned}$$

电源抵抗自感电动势所作的功 $A_L$ ，转化成为储存在线圈中的能量，称为**自感磁能**，用 $W_m$ 来表示。

$$W_m = \frac{1}{2} LI^2 \quad (\text{类比: } W_e = \frac{1}{2} CV^2)。$$

对长直螺线管由  $B = \mu nI$  和  $L = \mu n^2V$  得：

$$W_m = \frac{B^2}{2\mu} V$$

磁能密度

$$w_m = \frac{B^2}{2\mu} = \frac{1}{2} BH = \frac{1}{2} \vec{B} \cdot \vec{H}$$

这说明磁能储存于磁场中。



上结果适用于除铁磁质外的一切线性磁化介质。

磁场能量  $W_m = \int_V \frac{1}{2} \vec{B} \cdot \vec{H} dV$

从能量角度理解电感中电流之所以不能突变，  
是因为磁能不能突变，否则功率将为无限大。

从磁能角度看，任何一个电流系统都有相应的电感量 $L$ ，也可以从能量出发计算 $L$ ：

$$L = \frac{2W_m}{I^2}$$

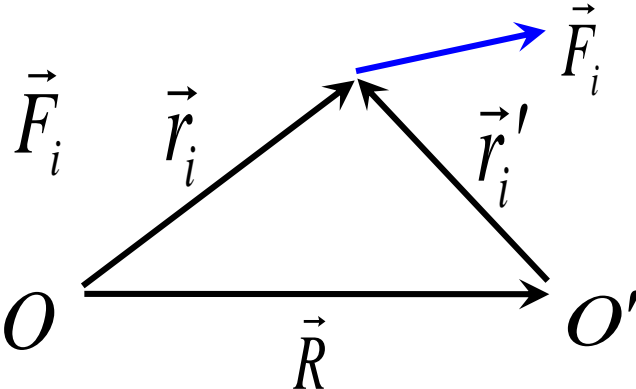
## 20.7 小环流与外磁场的相互作用能

### 1. 力矩

$$\vec{F}_{\text{外}} = \sum \vec{F}_i = 0 \quad (\text{外力的矢量和为零})$$

若  $\vec{F}_{\text{外}} = 0$ , 则磁力矩与参考点无关。磁场对某点  $O'$  的力矩等于对任意点  $O$  力矩。

证:

$$\begin{aligned}\vec{M}_{(O)} &= \sum \vec{r}_i \times \vec{F}_i = \sum (\vec{r}'_i + \vec{R}) \times \vec{F}_i \\ &= \sum \vec{r}'_i \times \vec{F}_i + \vec{R} \times \sum \vec{F}_i \\ &= \sum \vec{r}'_i \times \vec{F}_i = \vec{M}_{(O')}\end{aligned}$$


The diagram shows two points, O and O'. A horizontal vector  $\vec{R}$  points from O to O'. A point is shown above the line segment OO'. A vector  $\vec{r}_i$  points from O to this point. A vector  $\vec{r}'_i$  points from O' to this point. A blue vector  $\vec{F}_i$  points away from the point.

$\mathbf{c} \times (\mathbf{a} \times \mathbf{b}) = (\mathbf{c} \cdot \mathbf{b})\mathbf{a} - (\mathbf{c} \cdot \mathbf{a})\mathbf{b}$        $\mathbf{c}$ 点远乘近减 $\mathbf{c}$ 点近乘远

$$\vec{M} = \oint_L \mathbf{r} \times (I d\mathbf{l} \times \mathbf{B}) = \oint_L (\mathbf{B} \cdot \mathbf{r}) I d\mathbf{l} - \oint_L \mathbf{B} (\mathbf{r} \cdot I d\mathbf{l}) \quad ①$$

先证  $\oint_L \varphi d\mathbf{l} = \int d\mathbf{S} \times \nabla \varphi$ ,  $S$  是以  $L$  为周界的任意曲面。

证明: 取任意常矢量  $\mathbf{C}$

$$\begin{aligned} \mathbf{C} \cdot \oint_L \varphi d\mathbf{l} &= \oint_L \varphi \cdot \mathbf{C} \cdot d\mathbf{l} = \int (\nabla \times \varphi \mathbf{C}) \cdot d\mathbf{S} \\ &= \int (\varphi \nabla \times \mathbf{C} + \nabla \varphi \times \mathbf{C}) \cdot d\mathbf{S} \\ &= \int (\nabla \varphi \times \mathbf{C}) \cdot d\mathbf{S} = \mathbf{C} \cdot \int d\mathbf{S} \times \nabla \varphi \end{aligned}$$

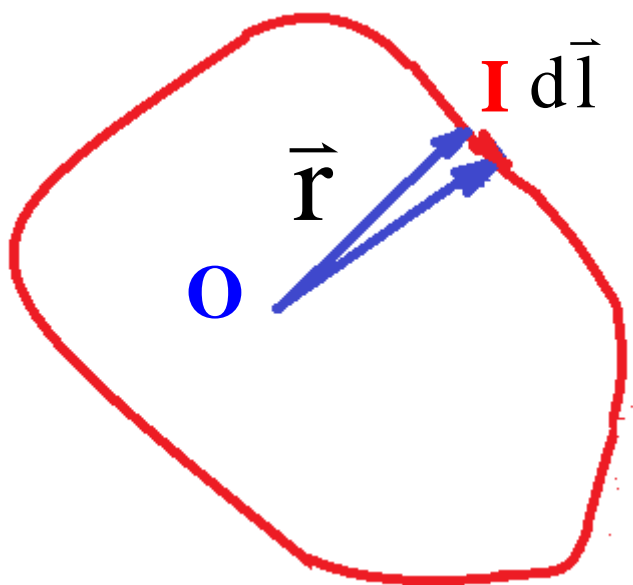
由  $\mathbf{C}$  的任意性, 可得,

$$I \oint_L (\mathbf{B} \cdot \mathbf{r}) d\mathbf{l} = I \int d\mathbf{S} \times \nabla (\mathbf{B} \cdot \mathbf{r})$$

$$\text{因 } \nabla (\mathbf{B} \cdot \mathbf{r}) = \nabla (B_x x + B_y y + B_z z) = \mathbf{B}$$

$$\text{故 } I \oint_L (\mathbf{B} \cdot \mathbf{r}) d\mathbf{l} = I \int d\mathbf{S} \times \mathbf{B}$$

$$= \left( I \int d\mathbf{S} \right) \times \mathbf{B} = \mathbf{m} \times \mathbf{B}$$



$$\vec{M} = \oint_L \mathbf{r} \times (I d\mathbf{l} \times \mathbf{B}) = \oint_L (\mathbf{B} \cdot \mathbf{r}) I d\mathbf{l} - \oint_L \mathbf{B} (\mathbf{r} \cdot I d\mathbf{l}) \quad ①$$

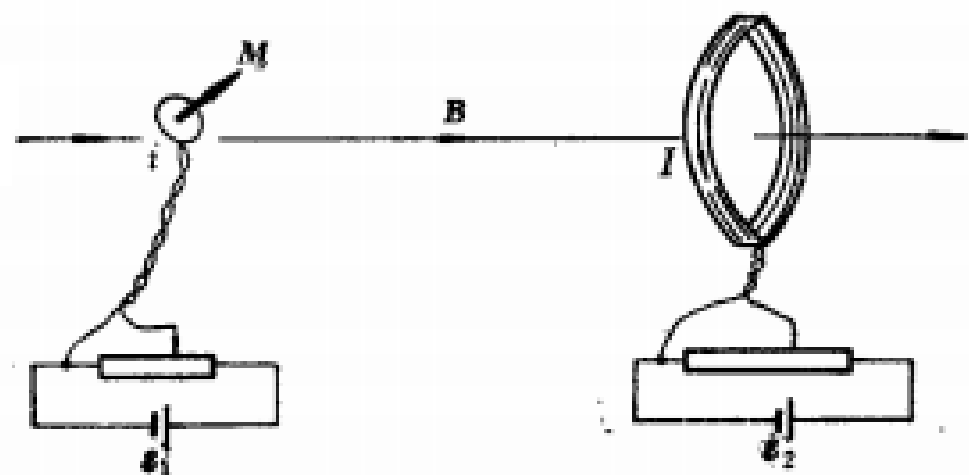
$$\text{①式中第二项 } -\oint_L \mathbf{B} (\mathbf{r} \cdot I d\mathbf{l}) = -I \mathbf{B} \oint_L \mathbf{r} \cdot d\mathbf{l} = -I \mathbf{B} \int (\nabla \times \mathbf{r}) \cdot d\mathbf{S}$$

因  $\nabla \times \mathbf{r} = 0$ ，此项为 0。

$$\text{故} \quad \vec{M} = \oint_L \mathbf{r} \times (I d\mathbf{l} \times \mathbf{B}) = \mathbf{m} \times \mathbf{B}$$

## 2. 有源小环流与外磁场的相互作用能

伴随着小环流的转动，必然发生电磁感应现象，从而改变环流数值或改变电源的输入电压。这就是说，在磁矩转动过程中，不仅有外场安培力矩做功，而且有外接电源参与能量交换，应当在磁矩转动能、磁矩与磁场的相互作用能、外接电源能三者之间讨论能量关系。



考虑到能量是状态的函数，与过程无关，我们设想在小环转动过程中，外接电动势随之递增 $\Delta e_1$ 、 $\Delta e_2$ ，以补偿两个线圈中的感应电动势（反电动势） $e_1'$ 、 $e_2'$ ，而维持小环流  $i$  和外磁场电流  $I$  不变。设  $A_0$ ——磁矩  $m$  从  $\pi/2$  转至  $\theta$  角过程中安培力矩的功， $A_1$ ——补偿电动势  $\Delta e_1$  在过程中提供的功， $A_2$ ——补偿电动势  $\Delta e_2$  在过程中提供的功。则小环流与外磁场的相互作用能应

是  $W = -A_0 + (A_1 + A_2)$

右端第一项与偶极子类同：

$$-A_0 = -\int_{\pi/2}^{\pi} |\mathbf{m} \times \mathbf{B}| d\alpha = -\int_{\pi/2}^{\pi} m B \sin\theta (-d\theta) = -\mathbf{m} \cdot \mathbf{B}$$

在外场不变情形下，有

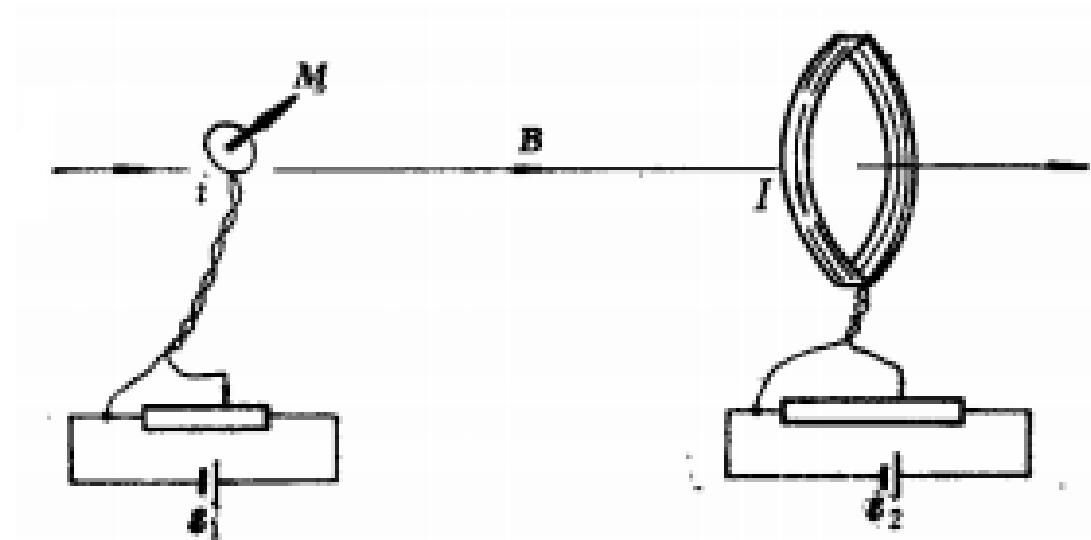
$$\Delta e_1 = -e_1' = \frac{d}{dt}(BS \cos\theta) = -BS \sin\theta \cdot \frac{d\theta}{dt}$$

$$A_1 = \int i \Delta e_1 dt = -\int_{\pi/2}^{\pi} iBS \sin\theta d\theta = iSB \cos\theta = \mathbf{m} \cdot \mathbf{B}$$

利用小环流与大线圈之间的互感系数应该时时相等这一性质，可以证明

$$A_2 = A_1 = \mathbf{m} \cdot \mathbf{B}, \quad \text{即} \quad A_1 + A_2 = 2\mathbf{m} \cdot \mathbf{B}$$

最后得  $W = (-\mathbf{m} \cdot \mathbf{B}) + (2\mathbf{m} \cdot \mathbf{B}) = +\mathbf{m} \cdot \mathbf{B}$



$$W = +\vec{m} \cdot \vec{B}$$

小环流相互作用能公式的正号表明，在安培力矩作用下，小环流转向外场，其转动能和相互作用能同时增加。这并不违背能量守恒律。上述推导过程清楚地表明，这两部分能量的增加一并来源于外界电源能。

如果设想其它过程，譬如保持电源电动势不变，而让小环流或外线圈的电流随之改变，

$W = +m \cdot B$  依然成立。在任何

过程中，外界电源参与能量交换是不可避免的， $(A_1 + A_2)$  总等于  $2m \cdot B$ ，尽管它在  $A_1$ 、 $A_2$  之间的分配可能不同。总之，在没有外部机械力的作用下，仅在磁力作用下的载流体的动能和空间磁能可以同时增加，这一点是磁现象与电现象的一个重要区别。



### 3. 无源小环流与外磁场的相互作用能

$$W = -A_0 + A_1 + A_2$$

$$A_1 + A_2 = 0$$

$$W = -\vec{m} \cdot \vec{B}$$

		电偶极子	小环流
激发场		$\vec{E} = -\frac{1}{4\pi\epsilon_0} \nabla \frac{\vec{p} \cdot \vec{r}}{r^3}$	$\vec{B} = -\frac{\mu_0}{4\pi} \nabla \frac{\vec{m} \cdot \vec{r}}{r^3}$
在外场中	受力矩	$\vec{M} = \vec{p} \times \vec{E}$	$\vec{M} = \vec{m} \times \vec{B}$
	相互作用能	$W = -\vec{p} \cdot \vec{E}$	$W = +\vec{m} \cdot \vec{B} \quad \text{有源小环流}$
			$W = -\vec{m} \cdot \vec{B} \quad \text{无源小环流}$



第20章结束